Федеральное государственное бюджетное учреждение науки Институт проблем безопасного развития атомной энергетики Российской академии наук

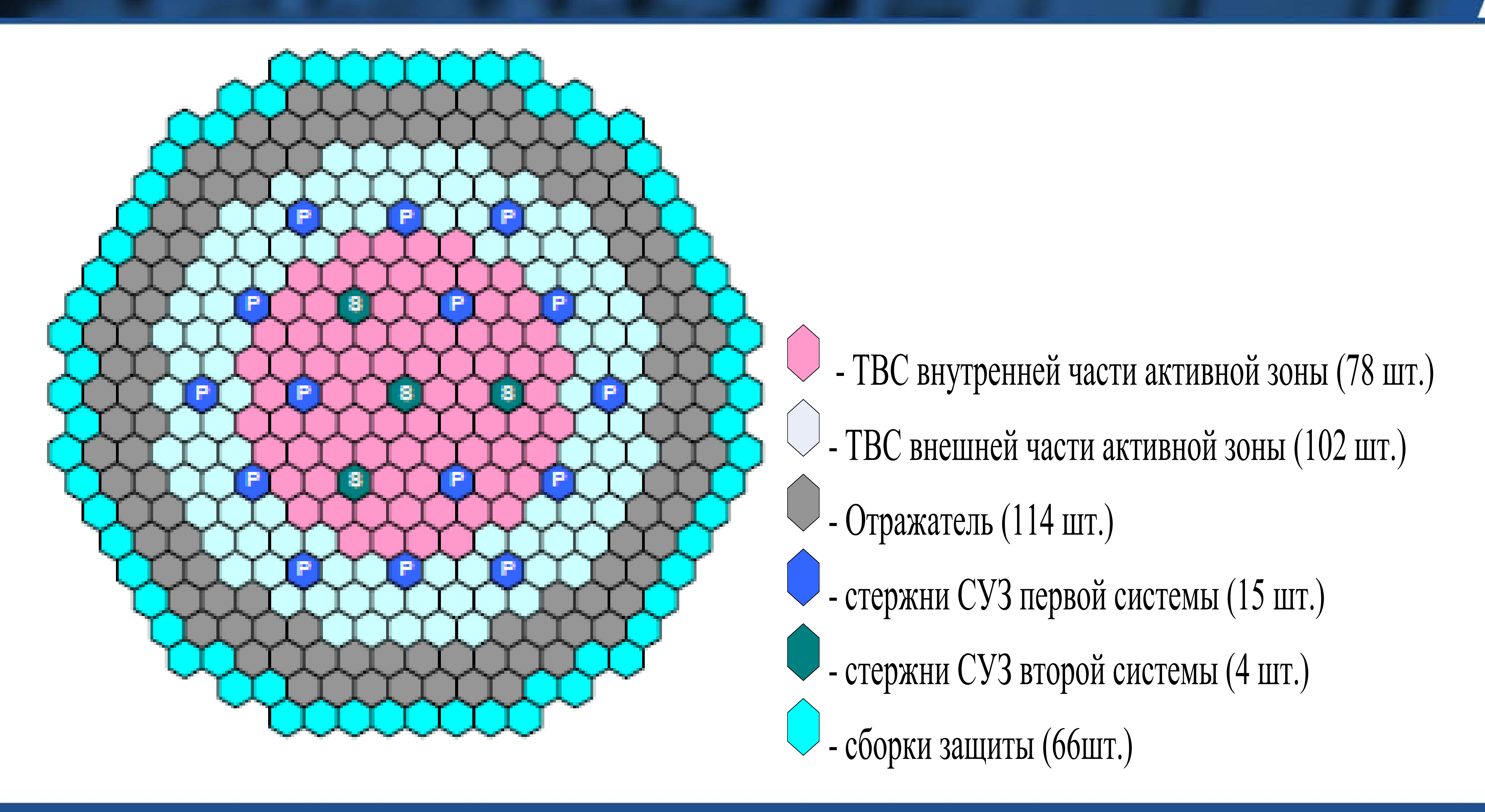


# Некоторые особенности расчета нестационарного поведения реактора

Докладчик: г.н.с. ИБРАЭ РАН Селезнев Е.Ф.

#### **PY MET-1000**





## Относительная эффективность по делению endf и по захвату endc



$ednf = \frac{\left\langle \Sigma_f \varphi_{dn} \right\rangle}{1 - \left\langle \Sigma_f \varphi_p \right\rangle}$				$ednc = \frac{\left\langle \Sigma_{c} \varphi_{dn} \right\rangle}{1} / \frac{\left\langle \Sigma_{c} \varphi_{p} \right\rangle}{1}$						
$\left\langle \Sigma_{f} \varphi_{dn} + \Sigma_{c} \varphi_{dn} \right\rangle \left\langle \Sigma_{f} \varphi_{p} + \Sigma_{c} \varphi_{p} \right\rangle$				$\left\langle \Sigma_f \varphi_{dn} + \Sigma_c \varphi_{dn} \right\rangle \left\langle \Sigma_f \varphi_p + \Sigma_c \varphi_p \right\rangle$						
Параметр	Группа	1	2	3	4	5	6	7	8	Суммарно
	запаздывающих									
	нейтронов									
ednf	Стационарное	0.7404	0.8586	0.7652	0.8111	0.8256	0.8149	0.8194	0.8385	0.8221
	состояние									
	Состояние	0.7040	0.8155	0.7280	0.7684	0.7845	0.7736	0.7833	0.7978	0.7813
	после сброса									
	стержней									
ednc	Стационарное	1.1440	1.0784	1.1302	1.1047	1.0967	1.1026	1.1001	1.0895	1.1440
	состояние									
	Состояние	1.1169	1.0729	1.1075	1.0915	1.0851	1.0894	1.0856	1.0799	1.0864
	после сброса									
	стержней									

#### Оценка источников деления



$$\frac{1}{k_{e\!f}} \Bigg[ \chi_p^g \sum_{l=1}^G \nu_p \Sigma_f^l \varphi^l \left(r\right) + \sum_{j=1}^{J\!D} \chi_{dj}^g \sum_{n=1}^N a_{dj}^n \sum_{l=1}^G \nu_d^n \Sigma_f^l \varphi^l \left(r\right) \Bigg\} \Bigg], \qquad \text{Классическое представление}$$

$$\frac{1}{k_{ef}}\chi_p^g \left[ \sum_{l=1}^G \nu_p \Sigma_f^l \varphi_p^l(r) + \sum_{l=1}^G \nu_p \Sigma_f^l \sum_{j=1}^{JD} \varphi_{dj}^l(r) \right]$$

$$\frac{1}{k_{ef}} \chi_{dj}^{g} \sum_{n=1}^{N} a_{dj}^{n} \sum_{l=1}^{G} \nu_{d}^{nl} \Sigma_{f}^{l} \left[ \sum_{k=1}^{J} \varphi_{k}^{l}(r) + \varphi_{p}^{l}(r) \right].$$

Парциальное представление

### Доля запаздывающих нейтронов в процессе последовательных поколений



$$a = 1/(1-k_v/k_{cr})$$

Полное число нейтронов на один вброшенный нейтрон

$$Pdn = \frac{1 + \beta_{\it eff} (a-1)}{a} = \frac{1 + \beta_{\it eff} [1/(1-k_{\it v}/k_{\it cr})-1]}{1/(1-k_{\it v}/k_{\it cr})} = 1 - k_{\it v}/k_{\it cr} (1-\beta_{\it eff})$$
 Классическое представление

$$Pdn = 1 - k_v / k_{cr} [1 - k_{dv} / (k_{pv} + k_{dv})] = 1 - k_{pv} / k_{cr}$$

Парциальное представление

#### Условно некритические уравнения



$$-D^{g} \Delta \varphi^{g}(r) + \sum_{a}^{g} \varphi^{g}(r) - \sum_{l=1}^{g-1} \sum_{s}^{l \to g} \varphi^{l}(r) =$$

#### Классическая форма

$$=\frac{1}{k_{ef}}\left[\chi_{p}^{g}\left\{\sum_{l=1}^{G}v_{p}\Sigma_{f}^{l}\varphi^{l}\left(r\right)+\sum_{n=1}^{N}a_{dj}^{n}\sum_{l=1}^{G}v_{d}^{nl}\Sigma_{f}^{l}\varphi^{l}\left(r\right)\right\}(1-Pdn)+Pdn\sum_{j=1}^{JD}\chi_{dj}^{g}\left\{b_{j}\sum_{l=1}^{G}v_{p}\Sigma_{f}^{l}\varphi^{l}\left(r\right)+\sum_{n=1}^{N}a_{dj}^{n}\sum_{l=1}^{G}v_{d}^{nl}\Sigma_{f}^{l}\varphi^{l}\left(r\right)\right\}\right],$$

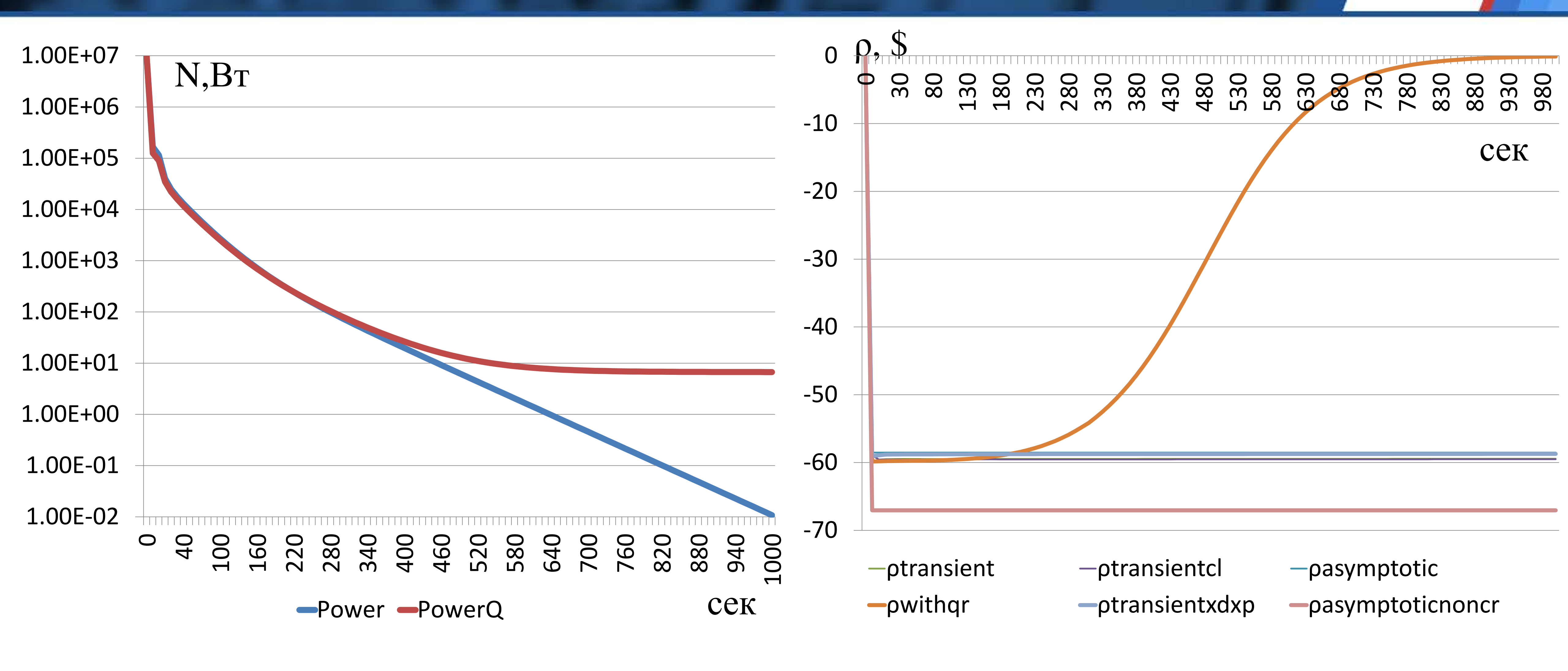
$$-D^{g} \Delta \varphi_{p}^{g}(r) + \Sigma_{a}^{g} \varphi_{p}^{g}(r) - \sum_{l=1}^{g-1} \Sigma_{s}^{l \to g} \varphi_{p}^{l}(r) = \frac{1}{k_{ef}} \chi_{p}^{g} \left[ \sum_{l=1}^{G} v_{p} \Sigma_{f}^{l} \varphi_{p}^{l}(r) + \sum_{l=1}^{G} v_{p} \Sigma_{f}^{l} \sum_{j=1}^{JD} \varphi_{dj}^{l}(r) \right] (1 - Pdn)$$

#### Парциальная форма

$$D^{g} \Delta \varphi_{dj}^{g}(r) + \sum_{a}^{g} \varphi_{dj}^{g}(r) - \sum_{l=1}^{g-1} \sum_{s}^{l \to g} \varphi_{dj}^{l}(r) = \frac{1}{k_{ef}} \chi_{dj}^{g} P dn \left\{ \sum_{n=1}^{N} a_{dj}^{n} \sum_{l=1}^{G} v_{d}^{nl} \sum_{k=1}^{J} \varphi_{k}^{l}(r) + \sum_{n=1}^{N} a_{dj}^{n} \sum_{l=1}^{G} v_{d}^{nl} \sum_{l=1}^{J} \varphi_{p}^{l}(r) \right\}.$$

### Изменение мощности и реактивности при сбросе всех стержней СУЗ





#### Определение реактивности



$$\begin{split} &\frac{1}{\upsilon_{g}} \frac{\partial \phi^{g}(r,t)}{\partial t} = -D^{g} \Delta \phi^{g}(r,t) - \Sigma_{a}^{g} \phi^{g}(r,t) + \sum_{l=1}^{g-1} \Sigma_{s}^{l \to g} \phi^{l}(r,t) \\ &+ \frac{1}{k_{cr}} \chi_{p}^{g} (1 - \sum_{j=1}^{JD} \beta_{j}) \sum_{l=1}^{G} v \Sigma_{f}^{l} \phi^{l}(r,t) + \frac{1}{k_{cr}} \sum_{j=1}^{JD} \sum_{n=1}^{N} \chi_{d,j}^{g,n} a_{j}^{n} \sum_{l=1}^{G} v_{d}^{n} \Sigma_{f}^{l} \phi^{l}(r) \\ &- \frac{1}{k_{cr}} \sum_{j=1}^{JD} \sum_{n=1}^{N} \chi_{d,j}^{g,n} a_{j}^{n} \sum_{l=1}^{G} v_{d}^{n} \Sigma_{f}^{l} \phi^{l}(r) + \sum_{j=1}^{JD} \sum_{n=1}^{N} \chi_{d,j}^{g,n} \lambda_{j}^{n} C_{j}^{n}(r,t) + Q^{g}(r,t) \end{split}$$

$$D^{g}\Delta\varphi^{+g}(r) + \sum_{a}^{g}\varphi^{+g}(r) - \sum_{l=g}^{G}\sum_{s}^{g\rightarrow l}\varphi^{+l}(r)$$

$$= \frac{1}{k_{ef}} \left[ \left( 1 - \sum_{j=1}^{JD} \beta_j \right) \nu \sum_{f}^{g} \sum_{l=1}^{G} \chi_p^l \varphi^l(r) + \sum_{j=1}^{JD} \sum_{n=1}^{N} \nu_d^n \sum_{f}^{g} \alpha_j^n \sum_{l=1}^{G} \chi_{d,j}^{l,n} \varphi^l(r) \right]$$

#### Определение реактивности



$$\langle \varphi^{+g} \frac{1}{\upsilon_{g}} \frac{\partial \varphi^{g}(r,t)}{\partial t} \rangle = \left(\frac{1}{k_{cr}} - \frac{1}{k_{ef}}\right) \left[ \langle \varphi^{+g} \chi_{p}^{g} (1 - \sum_{j=1}^{JD} \beta_{j}) \sum_{l=1}^{G} v \Sigma_{f}^{l} \varphi^{l}(r,t) \rangle + \langle \sum_{j=1}^{JD} \sum_{n=1}^{N} \varphi^{+g} \chi_{d,j}^{g,n} a_{j}^{n} \sum_{l=1}^{G} v_{d}^{n} \Sigma_{f}^{l} \varphi^{l}(r,t) \rangle \right]$$

$$- \frac{1}{k_{cr}} \langle \sum_{j=1}^{JD} \sum_{n=1}^{N} \varphi^{+g} \chi_{d,j}^{g,n} a_{j}^{n} \sum_{l=1}^{G} v_{d}^{n} \Sigma_{f}^{l} \varphi^{l}(r,t) \rangle + \langle \sum_{j=1}^{JD} \sum_{n=1}^{N} \varphi^{+g} \chi_{d,j}^{g,n} \lambda_{j}^{n} C_{j}^{n}(r,t) \rangle + \langle \varphi^{+g} Q^{g}(r,t) \rangle$$

$$\phi^g(r,t) = \psi(r) * T(t)$$

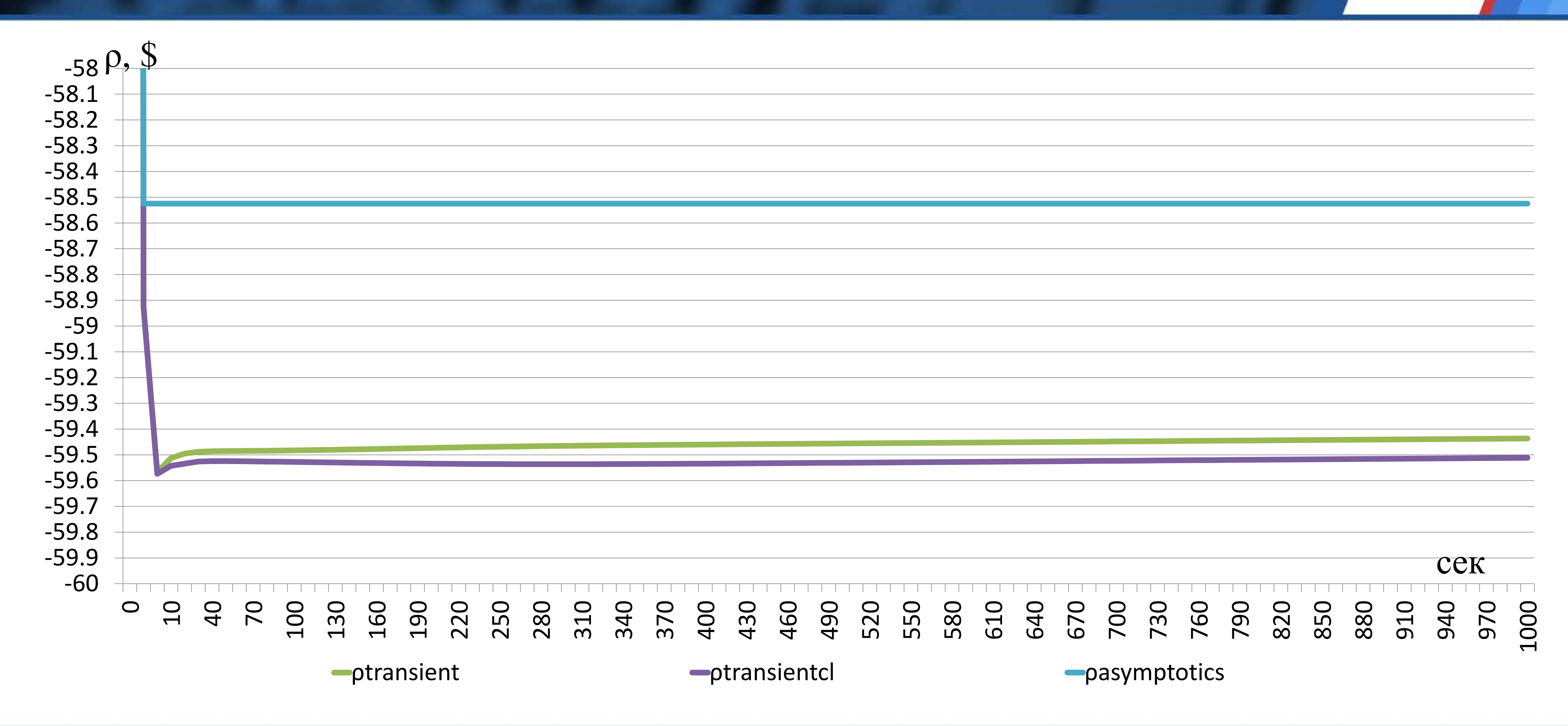
$$\Lambda \frac{\partial T(t)}{\partial t} = \left[ \left( \frac{1}{k_{cr}} - \frac{1}{k_{eff}} \right) - \frac{\beta_{ef}}{k_{cr}} \right] T(t) + \sum_{j=1}^{JD} \sum_{n=1}^{N} \lambda_{j}^{n} \tilde{C}_{j}^{n}(t) + Q_{ef}(r,t) \qquad \frac{\partial \tilde{C}_{j}^{n}(t)}{\partial t} = -\lambda_{j}^{n} \tilde{C}_{j}^{n}(t) + \beta_{j,ef}^{n} T(t)$$

$$\frac{\rho}{\beta_{eff}} = 1 - \frac{k_{cr} \sum_{j=1}^{JD} \sum_{n=1}^{N} \lambda_{j}^{n} \tilde{C}_{j}^{n}(t)}{\beta_{eff} T(t)} - \frac{k_{cr} Q_{ef}(r,t)}{\beta_{eff}} - \frac{\Lambda}{\beta_{eff}} \frac{\partial T(t)}{T(t) \partial t} \qquad \rho = \left(\frac{1}{k_{cr}} - \frac{1}{k_{eff}}\right) k_{cr}$$

 $\rho = (\frac{1}{1} - \frac{1}{1}) k_{cr} = (1 - \frac{K_{cr}}{1})$ 

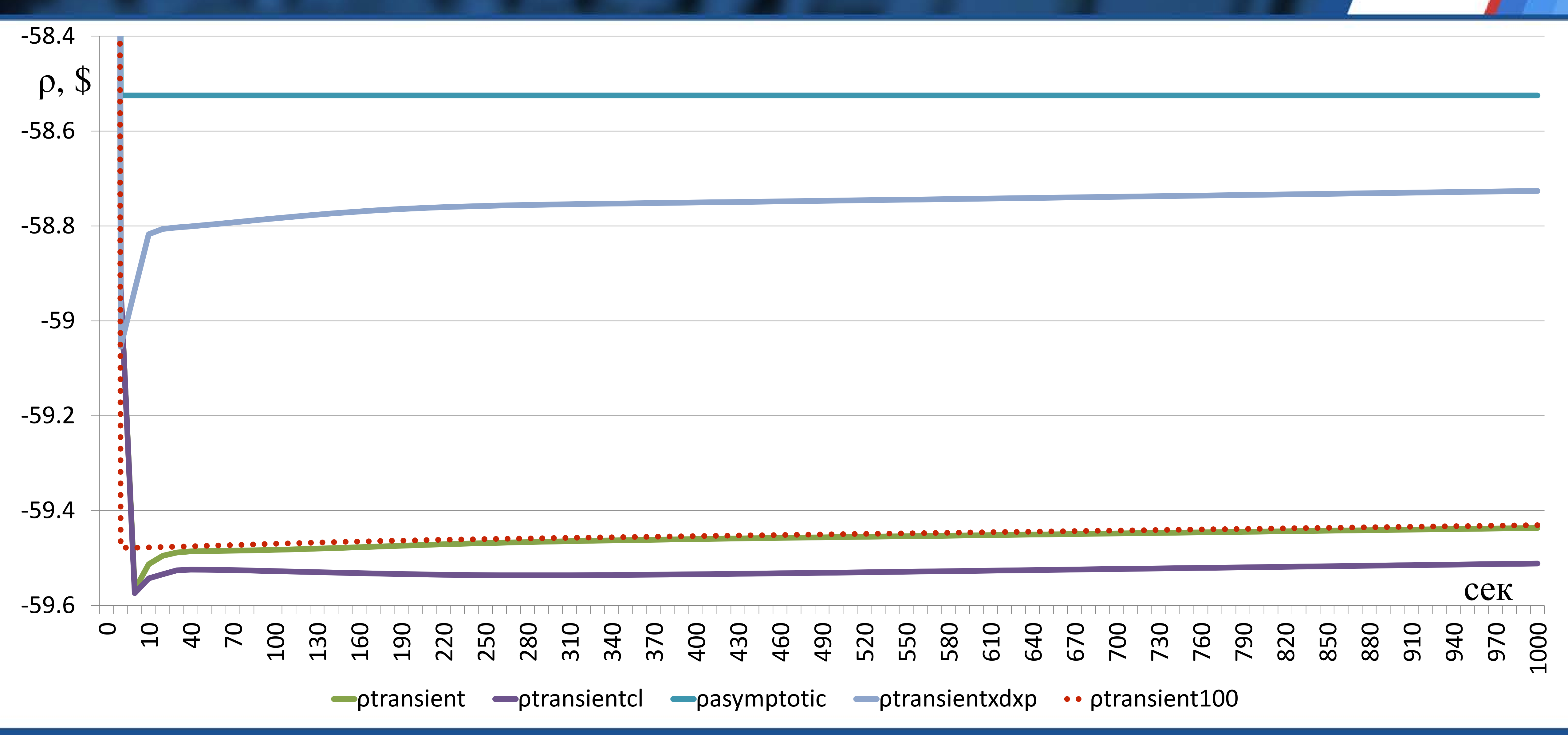
### Изменение реактивности при сбросе всех стержней СУЗ





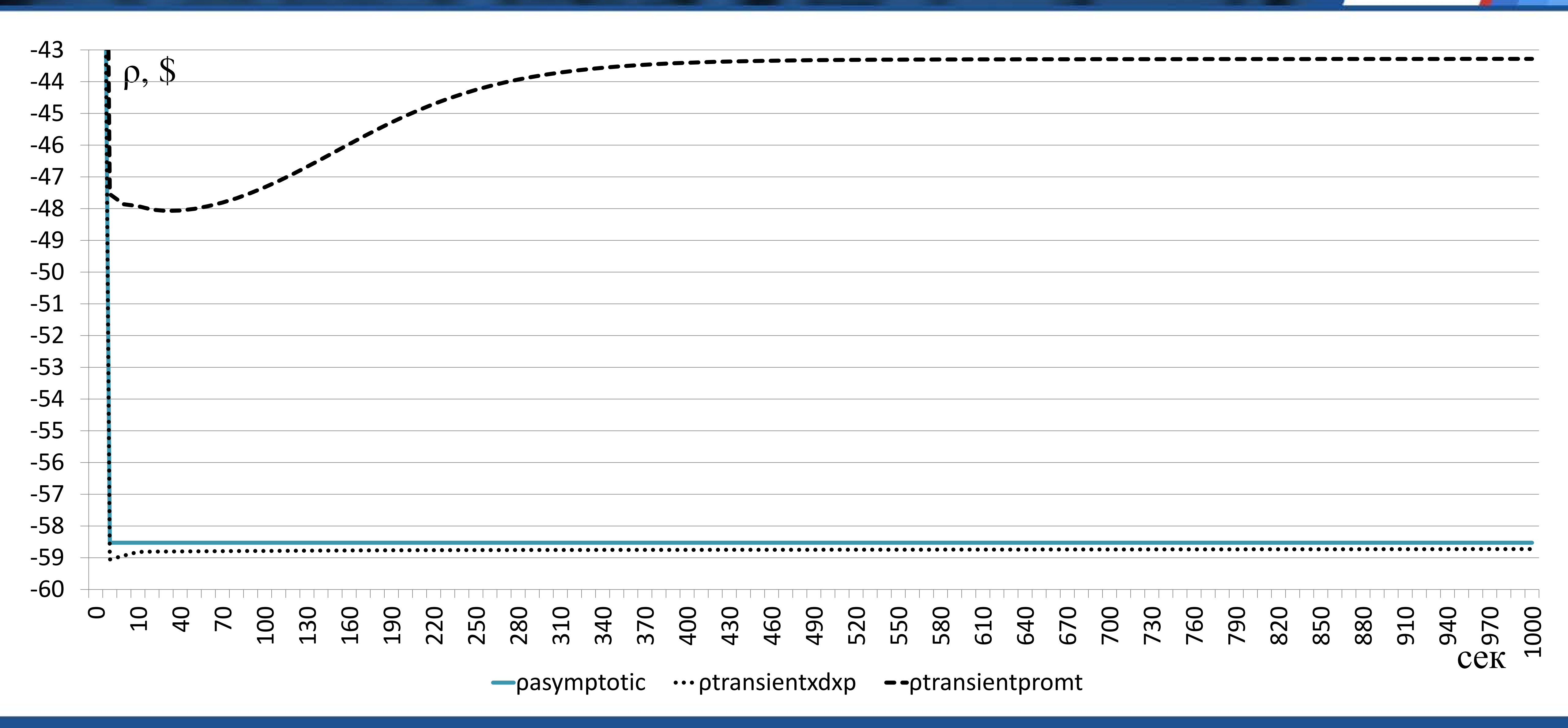
### Изменение реактивности при сбросе всех стержней СУЗ





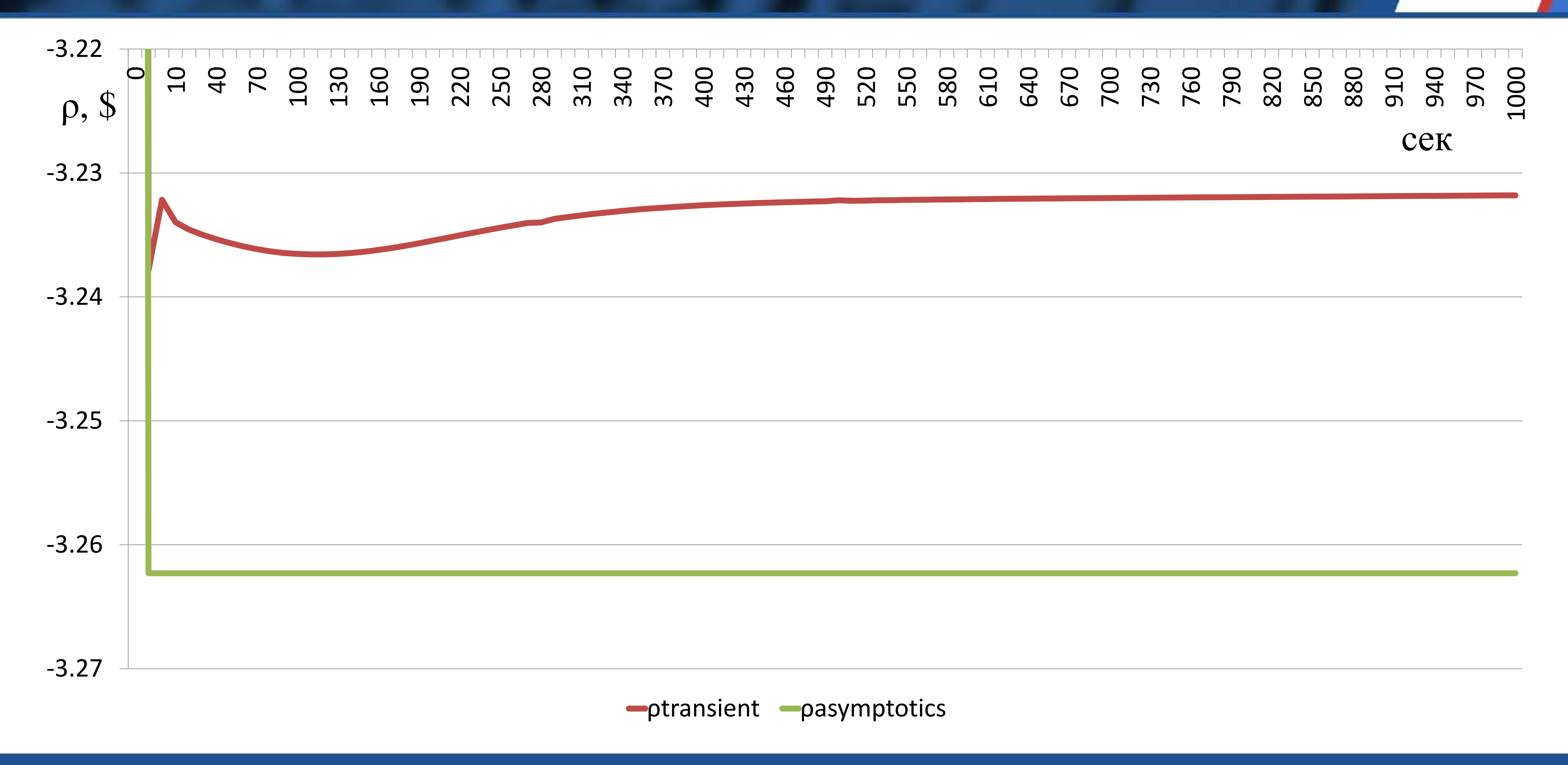
### Изменение реактивности при сбросе всех стержней СУЗ





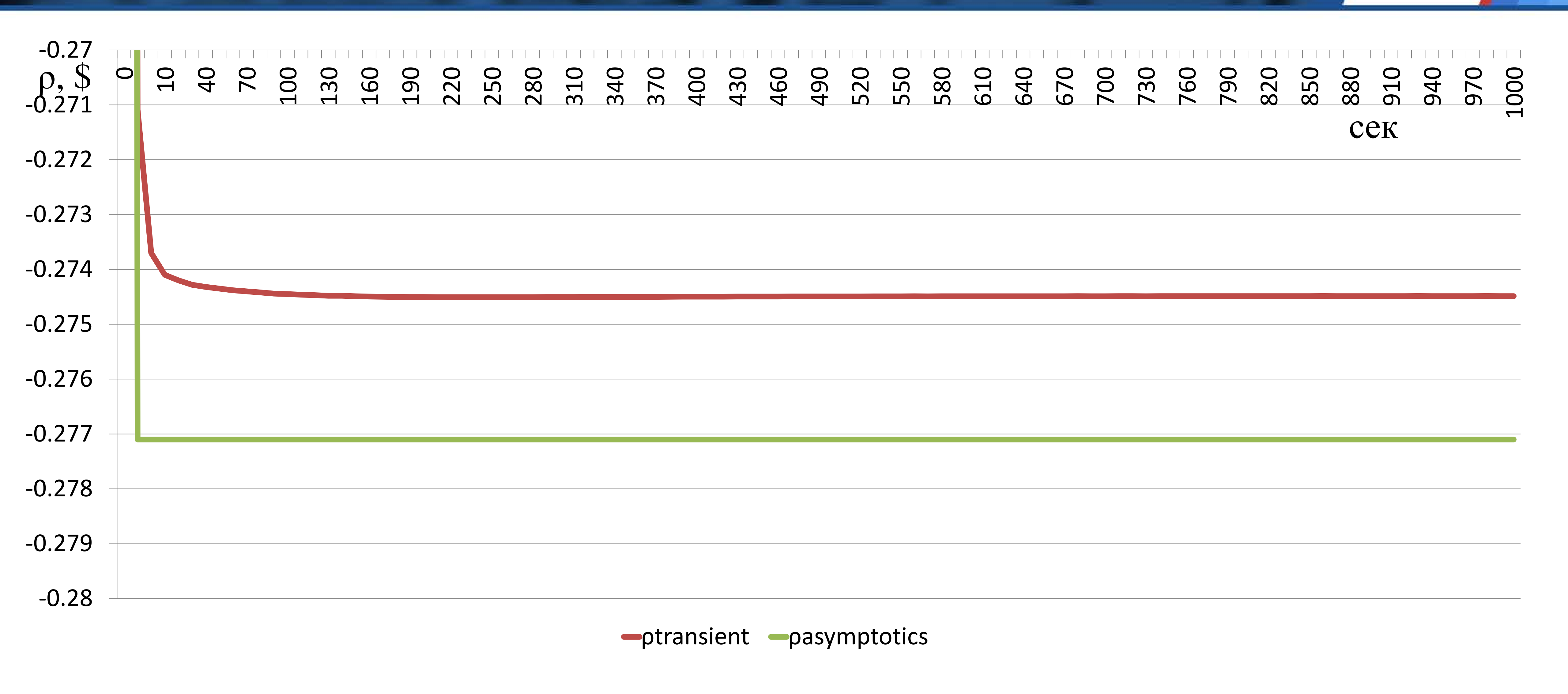
### Изменение реактивности при сбросе одного стержня СУЗ





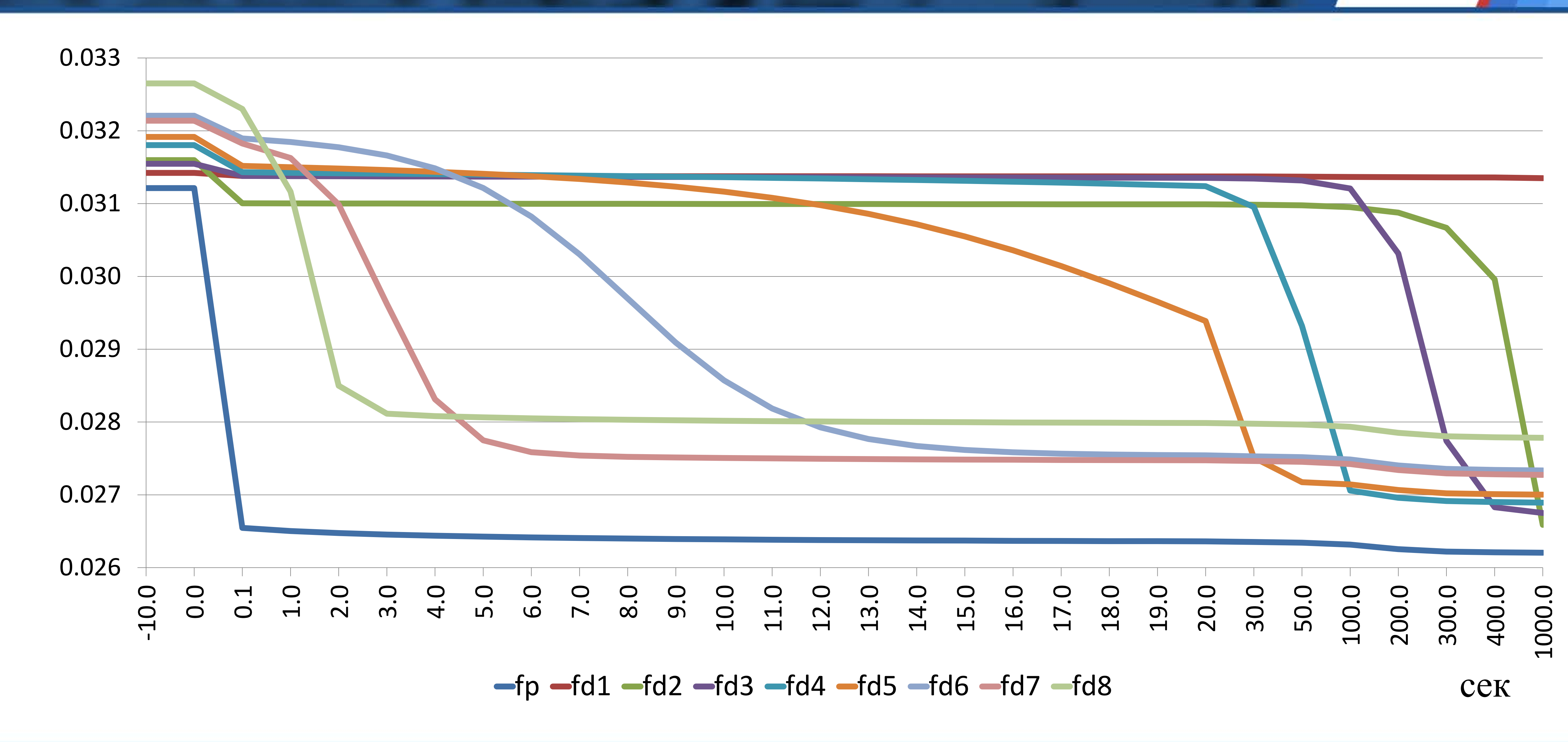
## Изменение реактивности при сбросе одного стержня СУЗ на одну ячейку





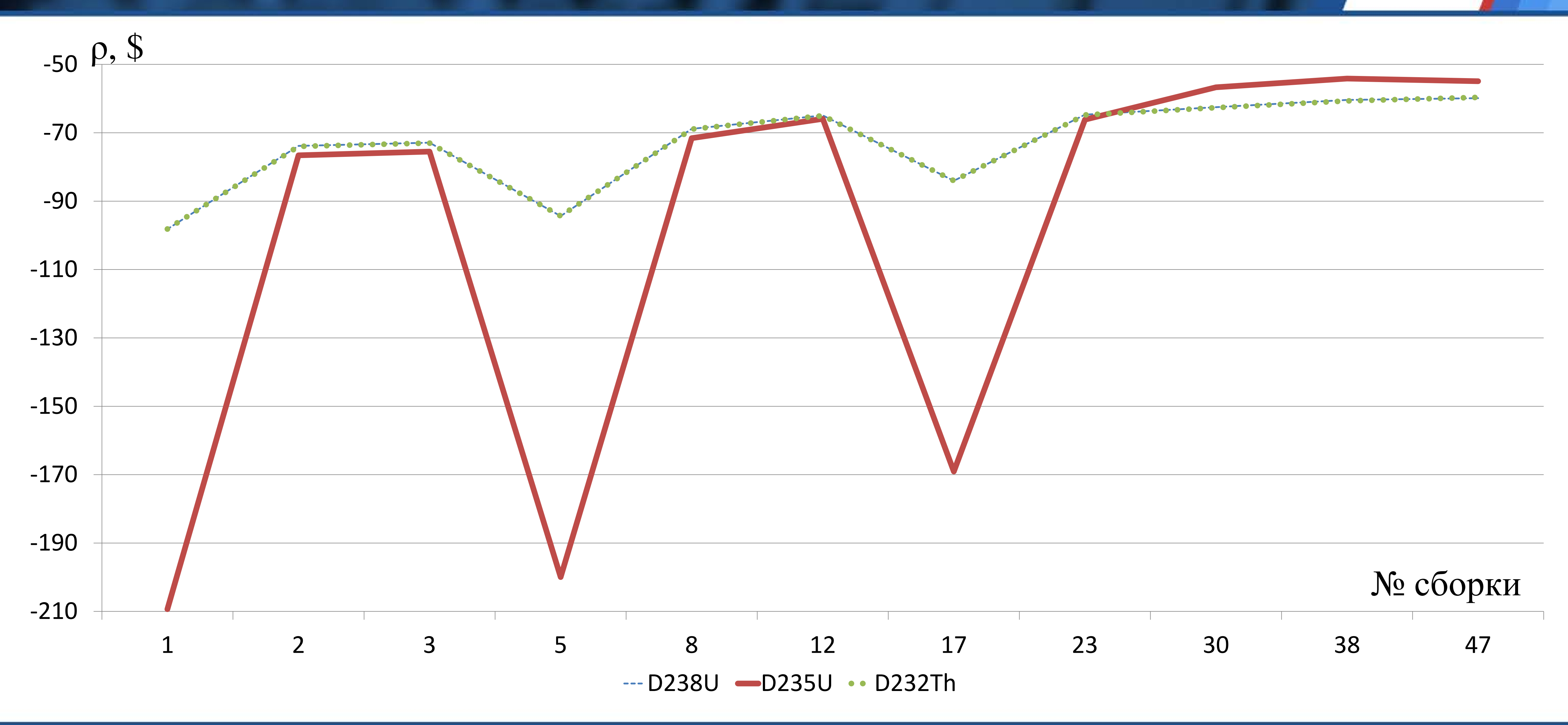
## Изменение доля поля нейтронов каждого вида в ТВС №2 пр нормировке поля каждого вида по реактору на 1,0





## Оценка реактивности различными детекторами в сборках по центральной диагонали реактора





### Заключение



В работе показаны особенности нестационарных процессов в реакторах на быстрых нейтронах, обусловленные тем, что спектры мгновенных и запаздывающих нейтронов находятся в области спектра нейтронов таких реакторов. Представлены эффективности запаздывающих нейтронов по захвату и по делению, которые можно получить с использованием решений парциальных уравнений нейтронов.

Сформулировано условно-некритическое уравнение переноса нейтронов. Показано влияние доли запаздывающих нейтронов в реакторе на результаты оценки реактивности реактора.

Показано влияние изменения формы поля мгновенных и запаздывающих нейтронов в реакторе на оценки реактивности при его возмущении. Влияние изменение формы поля на показания детекторов учитываются экспериментаторами через введение понятия эффективности детектора [5]. Но полностью учесть, в том числе и исключить, влияние места расположения детектора можно лишь с использованием решения задачи пространственной кинетики, что демонстрирует настоящая работа.



## СПАСИБО ЗА ВНИМАНИЕ!